

2

Modelo do sinal

Neste capítulo é apresentado do modelo do sinal para a transmissão em blocos em portadora única (SC) e multiportadora (MC). Os sistemas apresentados consideram a transmissão através de um canal com multipercursos. É também derivado um modelo generalizado para os sistemas considerados.

2.1

Transmissão e Recepção por blocos

A técnica de transmissão em blocos efetua a transmissão de blocos de símbolos oriundos de uma constelação APSK (*Amplitude Phase Shift Keying*). Utilizando-se representação complexa os símbolos transmitidos são da forma:

$$b_n \in \{\alpha_{\zeta_1} + j\beta_{\zeta_2}\}; \quad \zeta_1\zeta_2 = 0, \dots, \log_2 \mathcal{A} \quad (2-1)$$

onde \mathcal{A} é o número de níveis da modulação. O transmissor primeiro agrupa os símbolos em blocos de tamanho N , sendo o i -ésimo bloco transmitido representado pelo vetor $\mathbf{b}(i) = [b_0(i), b_1(i), \dots, b_{N-1}(i)]^T$, onde $b_n(i)$ é da forma dada por (2-1). Estes blocos de dados são transmitidos em portadora única ou em um esquema multiportadora.

Antes da transmissão, um intervalo de guarda de tamanho L é inserido com o fim de permitir a eliminação da interferência interblocos (IBI) na recepção. Na estrutura da Fig. 2.1, as características da matriz \mathbf{F} definem se a transmissão é em portadora única ou é multiportadora e a matriz de dimensão $M \times N$, \mathbf{T} onde $M = N + L$, representa a inserção do intervalo de guarda. As características destas matrizes serão especificadas nas seções seguintes. O modelo discreto geral do sistema é apresentado na Fig. 2.1.

O vetor resultante para a transmissão, de dimensão M , é expresso por:

$$\begin{aligned} \mathbf{s}(i) &= \mathbf{Td}(i) \\ &= \mathbf{TFb}(i) \end{aligned} \quad (2-2)$$

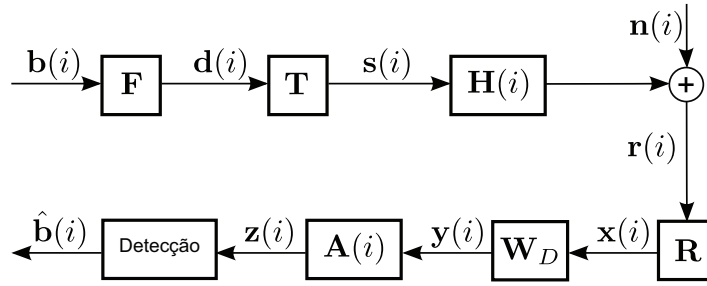


Figura 2.1: Estrutura geral de um sistema de transmissão por blocos

2.1.1

Transmissão Multiportadora

O esquema eficiente de transmissão multiportadora por blocos utiliza sub-portadoras ortogonais entre si, dando lugar ao surgimento do OFDM (*Orthogonal Frequency Division Multiplexing*). Define-se a matriz \mathbf{W}_N que representa a operação da transformada discreta de Fourier DFT normalizada de N pontos tal que $\mathbf{W}_N^H = \mathbf{W}_N^{-1}$, $\mathbf{W}_N \mathbf{W}_N^H = \mathbf{W}_N^H \mathbf{W}_N = \mathbf{I}_N$, onde \mathbf{I}_N é a matriz identidade de dimensão $N \times N$, e \mathbf{W}_N^H é a matriz hermitiana normalizada de dimensão $N \times N$, que representa a operação de IDFT da matriz DFT \mathbf{W}_N . A modulação em multiportadora é implementada por meio da matriz $\mathbf{F} = \mathbf{W}_N^H$, assim:

$$\mathbf{d}(i) = \mathbf{W}_N^H \mathbf{b}(i) \quad (2-3)$$

2.1.2

Transmissão em Portadora Única

Neste sistema os símbolos transmitidos são modulados por apenas uma portadora. De forma a generalizar o modelo, a modulação em portadora única é representada pela matriz $\mathbf{F} = \mathbf{I}_N$, ou seja:

$$\mathbf{d}(i) = \mathbf{I}_N \mathbf{b}(i) \quad (2-4)$$

2.1.3

Intervalo de Guarda

O vetor $\mathbf{s}(i)$ em (2-2) é transmitido serialmente através de um canal multipercurso, geralmente variante no tempo, composto por P percursos. Este canal pode ser modelado como um filtro FIR com P coeficientes de valores iguais às amostras da envoltória complexa da resposta impulsional do canal equivalente, tomados a taxa de transmissão de símbolos, isto é:

$$\mathbf{h}(i) = [h_0(i), h_1(i), \dots, h_{P-1}(i)]^T. \quad (2-5)$$

Supondo que durante um período de bloco o canal permaneça constante e que a ordem do canal seja menor que o tamanho do bloco $P - 1 \leq M$, o vetor de observação na entrada do receptor $\mathbf{r}(i)$ de dimensão M pode ser representada por:

$$\mathbf{r}(i) = \mathbf{H}(i)\mathbf{s}(i) + \mathbf{H}_{IBI}(i)\mathbf{s}(i - 1) + \mathbf{n}(i) \quad (2-6)$$

onde $\mathbf{n}(i)$ é um vetor de ruído térmico modelado por um vetor aleatório complexo gaussiano branco com média nula e matriz covariância $\mathbf{K}_n = \mathbb{E}[\mathbf{n}(i)\mathbf{n}^H(i)] = N_0\mathbf{I}_M$, com N_0 sendo a densidade espectral do ruído. A matriz $\mathbf{H}(i)$ de tamanho $M \times M$, em (2-6), que representa a convolução entre o sinal transmitido e o canal de transmissão é uma matriz Toeplitz triangular inferior com a primeira coluna $[h_0(i), \dots, h_{P-1}(i) \underbrace{0 \dots 0}_{M-P-1}]$, ou seja:

$$\mathbf{H}(i) = \begin{bmatrix} h_0(i) & 0 & 0 & 0 & 0 & \dots & 0 \\ h_1(i) & h_0(i) & 0 & 0 & 0 & \dots & 0 \\ h_2(i) & h_1(i) & h_0(i) & 0 & 0 & \dots & 0 \\ \vdots & \vdots & \vdots & h^{(i)}[0] & \vdots & \dots & \vdots \\ h_{P-1}(i) & h_{P-2}(i) & h_{P-3}(i) & \dots & \ddots & \vdots & 0 \\ \vdots & \vdots & \vdots & \vdots & \dots & \ddots & \vdots \\ 0 & 0 & \dots & 0 & h_{P-1}(i) & \dots & h_0(i) \end{bmatrix}. \quad (2-7)$$

Ainda em (2-6), a matriz de tamanho $M \times M$, $\mathbf{H}_{IBI}(i)$, que representa a interferência inter blocos sucessivos, é uma matriz Toeplitz triangular superior, com primeira linha $[\underbrace{0 \dots 0}_{M-P} \ h_{P-1}(i) \ \dots \ h_0(i)]$. Assim:

$$\mathbf{H}_{IBI}(i) = \begin{bmatrix} 0 & \dots & h_{P-1}(i) & \dots & h_1(i) \\ \vdots & \ddots & 0 & \ddots & \vdots \\ 0 & \dots & \ddots & \dots & h_{P-1}(i) \\ \vdots & \ddots & \vdots & \ddots & \vdots \\ 0 & \dots & 0 & \dots & 0 \end{bmatrix}. \quad (2-8)$$

O termo $\mathbf{H}_{IBI}(i)\mathbf{s}(i - 1)$ em (2-6) representa a interferência no i -ésimo bloco devida ao $(i - 1)$ -ésimo bloco, a chamada interferência interblocos (IBI).

Como já mencionado, a eliminação da IBI na recepção é viabilizada por meio da inserção de um intervalo de guarda antes da transmissão e definida pela matriz \mathbf{T} . Os intervalos de guarda consideradas neste trabalho são: CP (*Cyclic-Prefix* ou prefixo cíclico) e ZP (*Zero-Padding* ou preenchimento de zeros) [6].

Prefixo Cíclico

Neste método, na transmissão insere-se no início de cada bloco, as últimas L amostras do mesmo bloco, esta inserção pode ser efetivada por meio da matriz $\mathbf{T} = \mathbf{T}_{cp}$ de dimensão $M \times N$ dada por:

$$\mathbf{T}_{cp} = \begin{bmatrix} \mathbf{I}_{cp} \\ \mathbf{I}_N \end{bmatrix}_{M \times N}, \quad (2-9)$$

onde a matriz \mathbf{I}_{cp} de dimensão $L \times N$, contém as últimas L linhas da matriz identidade de \mathbf{I}_N . O resultado é um vetor \mathbf{s}_{cp} de tamanho M dado por:

$$\mathbf{s}_{cp}(i) = \mathbf{T}_{cp}\mathbf{Fb}(i) \quad (2-10)$$

Na recepção o intervalo de guarda é retirado do sinal recebido em (2-6), esta operação é representada pela matriz $\mathbf{R} = \mathbf{R}_{cp} = [\mathbf{0}_{N \times L}; \mathbf{I}_N]$ de tamanho $N \times M$. O vetor resultante de tamanho N é dado por:

$$\mathbf{x}(i) = \mathbf{R}_{cp}\mathbf{H}(i)\mathbf{T}_{cp}\mathbf{Fb}(i) + \mathbf{R}_{cp}\mathbf{n}(i) \quad (2-11)$$

A inserção e a remoção da faixa de guarda faz com que a matriz $\mathbf{H}(i)$ em (2-7), se torne uma matriz circulante $\mathbf{H}_c(i)$ de tamanho $N \times N$ [6]. Isto é, $\mathbf{R}_{cp}\mathbf{H}(i)\mathbf{T}_{cp} = \mathbf{H}_c(i)$. Assim a expressão (2-11) pode ser escrita na forma:

$$\mathbf{x}(i) = \mathbf{H}_c(i)\mathbf{Fb}(i) + \mathbf{R}_{cp}\mathbf{n}(i) \quad (2-12)$$

Observa-se que o vetor de ruído $\mathbf{R}_{cp}\mathbf{n}(i)$, tem a mesma caracterização estatística de vetor $\mathbf{n}(i)$.

Preenchimento de Zeros

Nos sistemas com faixa de guarda ZP os N símbolos de informação são concatenados com L zeros ao final do bloco a ser transmitido [7]. A inserção da faixa de guarda ZP, é representada pela matriz $\mathbf{T} = \mathbf{T}_{zp}$ de dimensão $M \times N$ tal que:

$$\mathbf{T}_{zp} = \begin{bmatrix} \mathbf{I}_N \\ \mathbf{0}_{L \times N} \end{bmatrix}, \quad (2-13)$$

onde $\mathbf{0}_{L \times N}$ é uma matriz de zeros de dimensão $L \times N$. O vetor transmitido é então:

$$\mathbf{s}_{zp}(i) = \mathbf{T}_{zp}\mathbf{Fb}(i) \quad (2-14)$$

Neste caso o intervalo de guarda é mantido na recepção e portanto, $\mathbf{R} = \mathbf{R}_{zp} = \mathbf{I}_M$. O vetor de observação de tamanho M é então dado por:

$$\mathbf{x}(i) = \mathbf{H}(i)\mathbf{T}_{zp}\mathbf{Fb}(i) + \mathbf{n}(i) \quad (2-15)$$

A estrutura de \mathbf{T}_{zp} e $\mathbf{H}(i)$ fazem com que a multiplicação $\mathbf{H}(i)\mathbf{T}_{zp}$ seja equivalente a $\mathbf{H}_c(i)\mathbf{T}_{zp}$ [7], onde $\mathbf{H}_c(i)$ é uma matriz circulante de tamanho

$M \times M$, então a equação (2-15) pode ser rescrita como:

$$\mathbf{x}(i) = \mathbf{H}_c(i)\mathbf{T}_{zp}\mathbf{F}\mathbf{b}(i) + \mathbf{n}(i) \quad (2-16)$$

Observe-se que, em ambos casos, CP e ZP, para evitar a IBI o tamanho do intervalo de guarda deve ser ao menos a ordem do canal, ou seja $L \geq P - 1$.

2.2

Equalização no Domínio da Frequência

O vetor $\mathbf{x}(i)$, é então transformado para o domínio da frequência, de forma a simplificar o processo de equalização. Esta transformação é realizada por meio da multiplicação pela matriz \mathbf{W}_D que implementa a transformada discreta de Fourier de dimensão D , onde $D = N$ para o caso CP e $D = M$ para ZP. Assim o vetor resultante no domínio da frequência é da forma:

$$\mathbf{y}(i) = \mathbf{W}_D\mathbf{x}(i) \quad (2-17)$$

2.2.1

Propriedade da DFT

Seja \mathbf{H}_c uma matriz circulante de dimensão $M \times M$, a transformação da forma $\mathbf{W}_M\mathbf{H}_c\mathbf{W}_M^H$, gera uma matriz diagonal, de tamanho M , contendo os autovalores de \mathbf{H}_c em sua diagonal principal dado por:

$$\tilde{\mathbf{H}}_d = \mathbf{W}_M\mathbf{H}_c\mathbf{W}_M^H \quad (2-18)$$

Estes autovalores representam a resposta em frequência do canal, ou seja a transformada discreta de Fourier (não normalizada) dos M -pontos do canal equivalente $\mathbf{h}(i)$, ou seja, $\tilde{\mathbf{H}}_d = \text{diag}[\mathbf{q}]$, onde $\mathbf{q} = \sqrt{M}\mathbf{W}_{MP}\mathbf{h}(i)$ e \mathbf{W}_{MP} contém as primeiras P colunas de \mathbf{W}_M .

A operação inversa, $\mathbf{W}_M^H\tilde{\mathbf{H}}_d\mathbf{W}_M$, onde $\tilde{\mathbf{H}}_d$ é uma matriz diagonal de tamanho M , gera uma matriz circulante \mathbf{H}_c , contendo em sua primeira coluna a IDFT da diagonal principal de $\tilde{\mathbf{H}}_d$:

$$\mathbf{H}_c = \mathbf{W}_M^H\tilde{\mathbf{H}}_d\mathbf{W}_M \quad (2-19)$$

Considerando que uma matriz circulante pode ser decomposta na forma $\mathbf{H}_c(i) = \mathbf{W}^H\tilde{\mathbf{H}}_d(i)\mathbf{W}$, onde $\tilde{\mathbf{H}}_d(i)$ é uma matriz diagonal que contém em sua diagonal a resposta de frequência do canal discreto e após manipulações algébricas, aplicando (2-19) em (2-17), com $\mathbf{x}(i)$ dado por (2-12) e (2-16), tem-se que (2-17) pode ser reescrita na forma geral:

$$\mathbf{y}(i) = \tilde{\mathbf{H}}_d(i)\mathbf{V}\mathbf{b}(i) + \tilde{\mathbf{n}}(i) \quad (2-20)$$

sendo cada caso particular descrito a seguir:

CP

1. Caso SC-CP, (2-12) com $\mathbf{F} = \mathbf{I}$, o vetor observado de dimensão $N \times 1$

$$\begin{aligned} \mathbf{y}(i) &= \mathbf{W}_N \mathbf{x}(i) \\ &= \tilde{\mathbf{H}}_d(i) \underbrace{\mathbf{W}_N \mathbf{b}(i)}_{\mathbf{v}} + \underbrace{\mathbf{W}_N \mathbf{R}_{cp} \mathbf{n}(i)}_{\tilde{\mathbf{n}}(i)} \end{aligned} \quad (2-21)$$

2. Caso MC-CP, o vetor observado de dimensão $N \times 1$

$$\begin{aligned} \mathbf{y}(i) &= \mathbf{W}_N \mathbf{x}(i) \\ &= \tilde{\mathbf{H}}_d(i) \underbrace{\mathbf{I}_N}_{\mathbf{v}} \mathbf{b}(i) + \underbrace{\mathbf{W}_N \mathbf{R}_{cp} \mathbf{n}(i)}_{\tilde{\mathbf{n}}(i)} \end{aligned} \quad (2-22)$$

(2-12) com $\mathbf{F} = \mathbf{W}_N^H$.

ZP

1. Caso SC-ZP, (2-16) com $\mathbf{F} = \mathbf{I}$, vetor observado de dimensão $M \times 1$

$$\begin{aligned} \mathbf{y}(i) &= \mathbf{W}_M \mathbf{x}(i) \\ &= \tilde{\mathbf{H}}_d(i) \underbrace{\mathbf{W}_M \mathbf{T}_{zp}}_{\mathbf{v}} \mathbf{b}(i) + \underbrace{\mathbf{W}_M \mathbf{n}(i)}_{\tilde{\mathbf{n}}(i)} \end{aligned} \quad (2-23)$$

2. Caso MC-ZP, vetor observado de dimensão $M \times 1$

$$\begin{aligned} \mathbf{y}(i) &= \mathbf{W}_M \mathbf{x}(i) \\ &= \tilde{\mathbf{H}}_d(i) \underbrace{\mathbf{W}_M \mathbf{T}_{zp} \mathbf{W}_N^H}_{\mathbf{v}} \mathbf{b}(i) + \underbrace{\mathbf{W}_M \mathbf{n}(i)}_{\tilde{\mathbf{n}}(i)} \end{aligned} \quad (2-24)$$

(2-16) com $\mathbf{F} = \mathbf{W}_N^H$

2.2.2 Equalização Zero-Forcing

O equalizador ZF suprime o efeito do canal sobre o bloco de dados transmitidos, por meio da multiplicação da inversa ou pseudo-inversa das matrizes que pre-multiplicam o vetor de dados $\mathbf{b}(i)$ em $\mathbf{y}(i)$, sem levar em consideração o efeito do ruído.

Define-se a matriz $\mathbf{A}(i) = (\tilde{\mathbf{H}}_d(i)\mathbf{V})^\dagger$ onde $(\cdot)^\dagger$ representa a operação pseudo-inversa e o vetor $\mathbf{z}(i)$ de dimensão $N \times 1$ dado por:

$$\begin{aligned}\mathbf{z}(i) &= \mathbf{A}(i)[\tilde{\mathbf{H}}_d(i)\mathbf{V}\mathbf{b}(i) + \tilde{\mathbf{n}}(i)] \\ &= \mathbf{b}(i) + \mathbf{A}(i)\tilde{\mathbf{n}}(i) \\ &= \mathbf{b}(i) + \mathbf{n}_z(i)\end{aligned}\quad (2-25)$$

onde $\mathbf{n}_z(i)$ é o vetor de ruído gaussiano agora colorido após a equalização, cuja matriz covariância de dimensão $N \times N$ é dada por:

$$\mathbf{K}_{\mathbf{n}_z} = \mathbf{A}(i)\mathbf{K}_{\tilde{\mathbf{n}}}\mathbf{A}^H(i) \quad (2-26)$$

As matrizes $\mathbf{A}(i)$ e $\mathbf{K}_{\mathbf{n}_z}$ para cada sistema são apresentadas a seguir:

CP

1. SC-CP:

$$\begin{aligned}\mathbf{A}_{cp}^{sc}(i) &= [\mathbf{H}_d(i)\mathbf{W}_N]^{-1} \\ &= \mathbf{W}_N^H \tilde{\mathbf{H}}_d^{-1}(i)\end{aligned}\quad (2-27)$$

$$\mathbf{K}_{\mathbf{n}_{cp}}^{sc} = \sigma^2 \mathbf{W}_N^H \tilde{\mathbf{H}}_d^{-1}(i) (\tilde{\mathbf{H}}_d^{-1})^H(i) \mathbf{W}_N \quad (2-28)$$

2. MC-CP:

$$\begin{aligned}\mathbf{A}_{cp}^{mc}(i) &= \tilde{\mathbf{H}}_d^{-1}(i) \\ \mathbf{K}_{\mathbf{n}_{cp}}^{mc} &= \sigma^2 \tilde{\mathbf{H}}_d^{-1}(i) (\tilde{\mathbf{H}}_d^{-1})^H(i),\end{aligned}\quad (2-29)$$

Note-se que apenas no caso MC-CP a matriz covariância do ruído em (2-25) é diagonal, ou seja o ruído possui componentes decorrelatadas.

ZP

1. SC-ZP

$$\begin{aligned}\mathbf{A}_{zp}^{sc}(i) &= [\tilde{\mathbf{H}}_d(i)\mathbf{W}_{MN}]^\dagger \\ &= [\mathbf{W}_{MN}^H \tilde{\mathbf{H}}_d^H(i) \tilde{\mathbf{H}}_d(i) \mathbf{W}_{MN}]^{-1} \mathbf{W}_{MN}^H \tilde{\mathbf{H}}_d^H(i)\end{aligned}\quad (2-30)$$

$$\mathbf{K}_{\mathbf{n}_{zp}}^{sc} = \sigma^2 [\mathbf{W}_{MN}^H \tilde{\mathbf{H}}_d^H(i) \tilde{\mathbf{H}}_d(i) \mathbf{W}_{MN}]^{-1} \quad (2-31)$$

2. MC-ZP

$$\begin{aligned}
\mathbf{A}_{zp}^{mc}(i) &= [\tilde{\mathbf{H}}_d(i) \mathbf{W}_{MN} \mathbf{W}_N^{\mathcal{H}}]^\dagger \\
&= [\mathbf{W}_N \mathbf{W}_{MN}^{\mathcal{H}} \tilde{\mathbf{H}}_d^{\mathcal{H}}(i) \tilde{\mathbf{H}}_d(i) \mathbf{W}_{MN} \mathbf{W}_N^{\mathcal{H}}]^{-1} \mathbf{W}_N \mathbf{W}_{MN}^{\mathcal{H}} \tilde{\mathbf{H}}_d^{\mathcal{H}}(i)
\end{aligned} \tag{2-32}$$

$$\mathbf{K}_{\mathbf{n}_{zp}}^{mc} = \sigma^2 \mathbf{W}_N [\mathbf{W}_{MN}^{\mathcal{H}} \tilde{\mathbf{H}}_d^{\mathcal{H}}(i) \tilde{\mathbf{H}}_d(i) \mathbf{W}_{MN}]^{-1} \mathbf{W}_N^{\mathcal{H}} \tag{2-33}$$

onde \mathbf{W}_{MN} é a matriz que contem as N primeiras colunas de \mathbf{W}_M .

Os diferentes tipos de receptores para cada caso serão apresentados no seguinte capítulo.